



شیمی کانی کلینوپیروکسن، رهنمونی بر دما - فشارسنگی و تعیین خاستگاه زمین‌ساختی بازالت‌های گزبلند، شمال غرب شهربابک

ملیحه گلستانی^{۱*}، امیر مهدوی^۲

۱- گروه زمین‌شناسی، دانشکده علوم پایه و مهندسی، دانشگاه ولايت، ايرانشهر، ايران

۲- گروه زمین‌شناسی، دانشکده علوم پایه، دانشگاه بيرجند، بيرجند، ايران

(دریافت مقاله: ۹۹/۸/۲۵، نسخه نهایی: ۹۹/۱۱/۱)

چکیده: منطقه گزبلند در غرب استان کرمان و در شمال غرب شهرستان شهربابک بخشی از کمربند آتشفسانی - نفوذی ارومیه - دختر است. بیشتر رخنمون‌های سنگی منطقه به سن ائوسن هستند و بازالت‌های موردن بررسی با سن پلیو - پلیستوسن، در این منطقه گسترش به نسبت محدودی دارند. بافت غالب این سنگ‌ها ریزسنگی پورفیری است و الیوین، کلینوپیروکسن و پلازیوکلاز از کانی‌های اصلی هستند. در اثر عملکرد هوازدگی و دگرسانی، کانی‌های ثانویه‌ای مانند کلسیت، کلریت و اکسیدهای آهن در این سنگ‌ها ایجاد شده‌اند. بر اساس داده‌های ریزکاو پرتوی ایکس، ترکیب پیروکسن‌ها دیوپسید - اوژیت است. ترکیب شیمیایی کلینوپیروکسن‌ها گویای مagma مادر با سرنشت آهکی - قلایی بوده که از خاستگاه زمین‌ساختی وابسته به فرورانش ناشی شده است. بر پایه بررسی‌های دما و فشارسنگی کلینوپیروکسن، magma مادر این سنگ‌ها طی تبلور کانی کلینوپیروکسن دارای حدود ۱۰ درصد آب با فشار ۲ تا ۸ کیلوبار بوده که بیانگر تشکیل آن‌ها در زمان بالا آمدگی و پیش از فوران است. تغییرات دمایی magma طی تبلور کلینوپیروکسن‌ها از ۱۱۳° تا ۱۲۴° درجه سانتی‌گراد است.

واژه‌های کلیدی: کلینوپیروکسن؛ بازالت‌ها؛ دما - فشارسنگی؛ گزبلند؛ شهربابک.

مقدمه

آتشفسانی، خاستگاه ماگما، فرآیندهای سنگ‌زایی مؤثر و ویژگی‌های زمین‌شیمیایی از نظر مکانی و زمانی بوده است [۱، ۲]. این امر سبب تقسیم این کمربند به پهنه‌ها، محورها و مراکز آتشفسانی متعدد شده است. پهنه دهچ - ساردئیه بخشی از کمربند آتشفسانی - نفوذی ارومیه - دختر در استان کرمان است که بیشترین حجم فعالیت magma را در این کمربند دارد [۳-۵]. تکاپوهای magma در کمربند آتشفسانی - نفوذی ارومیه - دختر طی ۵۰ میلیون سال (از ۶۵ میلیون سال دوران سنوزوئیک) رخ داده است که انواع سنگ‌های آذرین آتشفسانی و نفوذی در کمربندی با درازای ۴۵۰ تا ۵۰۰ کیلومتر و پهنه‌ی متوسط ۸۰ کیلومتر شکل گرفته‌اند [۶]. در

کمربند آتشفسانی - نفوذی ارومیه - دختر از مناطق شاخص تکاپوهای آتشفسانی و نفوذی در ایران بوده که به تناب از کرتاسه تا کواترنری، دستخوش فعالیت‌های magma در ارتباط با فرورانش شده است [۷، ۸]. این کمربند آتشفسانی - نفوذی مراحل تشکیل و تکامل زمین‌ساختی متفاوتی را در قسمت‌های مختلف خود تجربه نموده است؛ پراکندگی تکاپوهای آتشفسانی - نفوذی در سراسر آن مانند کمربند magma آند در اثر تفاوت‌های سنی مراکز آتشفسانی از شمال به جنوب، روند آرایش مراکز آتشفسانی - نفوذی، عملکرد ساختارهای زمین-ساختی ناحیه‌ای و محلی، غالب بودن فرآیندهای نفوذی یا

شرقی منطقه بطور همшиб در پی هم قرار دارند (شکل ۱ ب). همچنین در منطقه گزبلند، سنگ‌های آتشفشاری شامل بازالت، آندزیت بازالتی، تراکی آندزیت و تراکی بازالت و واحد نفوذی دیوریت پورفیری به همراه ماسه‌سنگ و کنگلومرای پلیو-پلیستوسن رختمون دارند. بازالت‌های نوزای گزبلند به صورت روانه‌هایی با گسترش به نسبت محدود در این منطقه بروزد یافته‌اند (شکل ۲). این سنگ‌ها به رنگ خاکستری روشن تا تیره، بدليل گرانروی پایین گدازه بازالتی، اغلب بصورت تپه ماهوری با ریختار پست دیده می‌شوند (شکل ۲). با توجه به جوان بودن فعالیت آتشفشاری در این منطقه، این سنگ‌ها بسیار کمتر در معرض فرآیندهای هوازدگی و دگرسانی قرار گرفته‌اند، به طوری که ویژگی‌های ماقمای اولیه را می‌توان در آن‌ها مشخص کرد.

روش بررسی

پس از بازدید و نمونه‌برداری صحرایی، به منظور بررسی‌های سنگنگاری از نمونه‌های برداشته شده مقطع نازک تهیه شد. پس از بررسی‌های سنگنگاری، تعیین نوع کانی‌ها و بافت سنگ‌ها، نمونه‌های مناسب انتخاب و برای آن‌ها تجزیه ریزکاو پرتوی ایکس (XPMA) با دستگاه XGT-7200 با جریان ۱mA، در آزمایشگاه کانساران بینالود انجام شد. بر این اساس، تعداد ۱۸ نقطه از کانی‌های پیروکسن برگریده برای تعیین شرایط فیزیکوشیمیایی و خاستگاه زمین‌ساختی سنگ‌های مورد بررسی، تجزیه کمی کانیایی شدند. از داده‌های بدست آمده با نرم افزارهای مختلف، کاتیون‌های سازنده محاسبه و سپس نمودارهای لازم رسم و تفسیر شدند. برای تفکیک مقدار Fe^{3+} و Fe^{2+} بر پایه مقدار Fe اندازه‌گیری شده با ریزپردازشگر پرتوی ایکس، از روش پیشنهادی مرجع [۲۳] استفاده گردید.

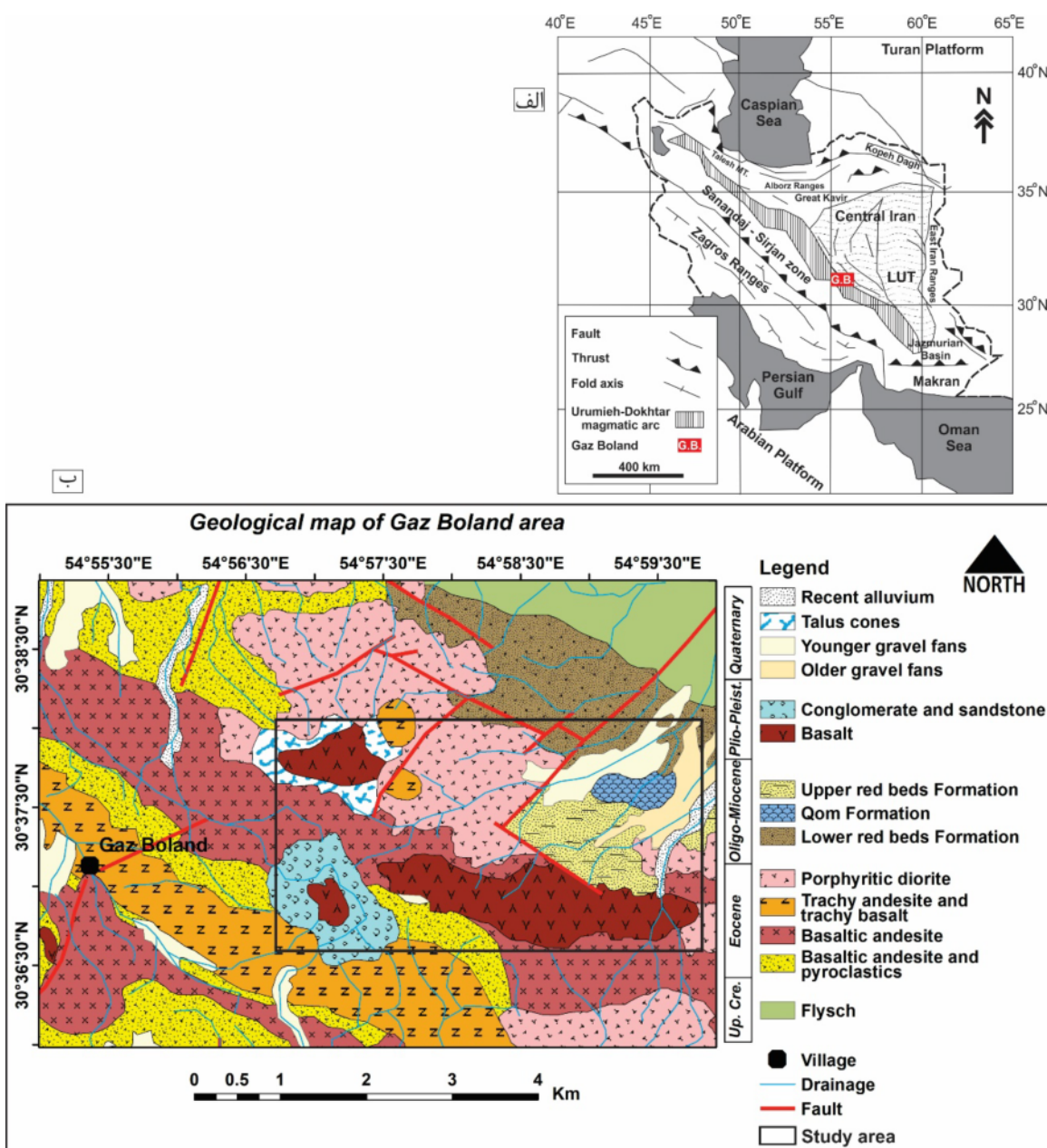
سنگنگاری

بررسی سنگنگاری بازالت‌های منطقه نشان می‌دهد که بافت اصلی این سنگ‌ها ریزسنگی پورفیری و گلومرپورفیری است و در اصل از درشت بلورهای الیوین، کلینوپیروکسن و پلاژیوکلاز در زمینه‌ای غنی از ریزسنگ‌های پلاژیوکلاز و ریزبلورهای الیوین، کلینوپیروکسن و کانی‌های کدر تشکیل شده‌اند. درشت بلورها ۵۰ تا ۵۵ درصد حجمی کل سنگ را در بازالت‌های منطقه گزبلند تشکیل می‌دهند (شکل ۳ الف).

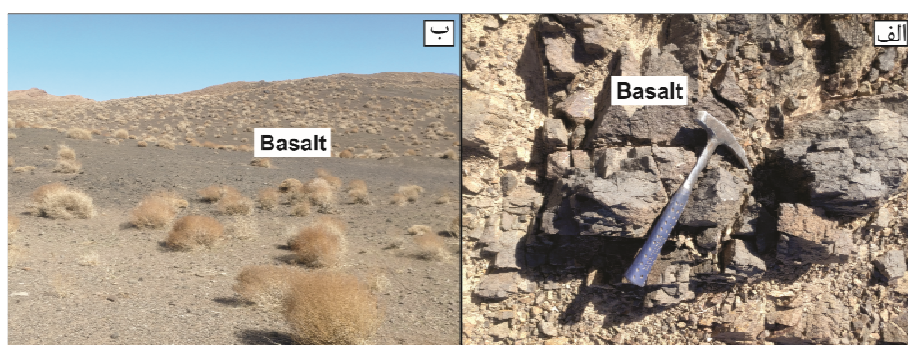
زمان میوسن پایانی - پلیوسن، مرحله جدیدی از تکاپوهای آذرین بسیار متفاوت از دوره‌های پیشین رخ داده است. در این دوره، فعالیت آتشفشاری در برخی از قسمت‌های کمربند آتشفشاری - نفوذی ارومیه - دختر، چون فعالیت آتشفشاری بازی پلیستوسن در منطقه شهربابک در غرب کرمان، بطور چشمگیری ادامه می‌یابد [۹-۱۲]. نمود چشمگیر فعالیت ماگمایی پلیوکواترنری در ناحیه کرمان از مهمترین رویدادهای زمین‌شناسی طی تکوین زمین‌ساختی این پهنه است که علت و چگونگی بروز آن مورد بحث پژوهشگران مختلف بوده و ایده‌های متعددی در این مورد ارائه شده است. بازالت‌های نوزای منطقه گزبلند ناحیه کرمان به عنوان آخرین نمودهای مهم از تکاپوهای آتشفشاری ترشیری در این بخش از ایران شناخته می‌شوند. کانی کلینوپیروکسن از کانی‌های اصلی تشکیل دهنده این بازالت‌هاست. ترکیب کلینوپیروکسن نه تنها نشانگر شرایط شیمیایی و سری ماگمایی بوده [۱۳-۱۶]، بلکه بیانگر شرایط فیزیکی (دما و فشار) ماگما در زمان تبلور این کانی است [۱۷-۲۱]. از این‌رو، در این پژوهش شرایط شیمیایی و فیزیکوشیمیایی زمان تبلور بر اساس شیمی کانی پیروکسن تعیین شده است.

زمین‌شناسی منطقه

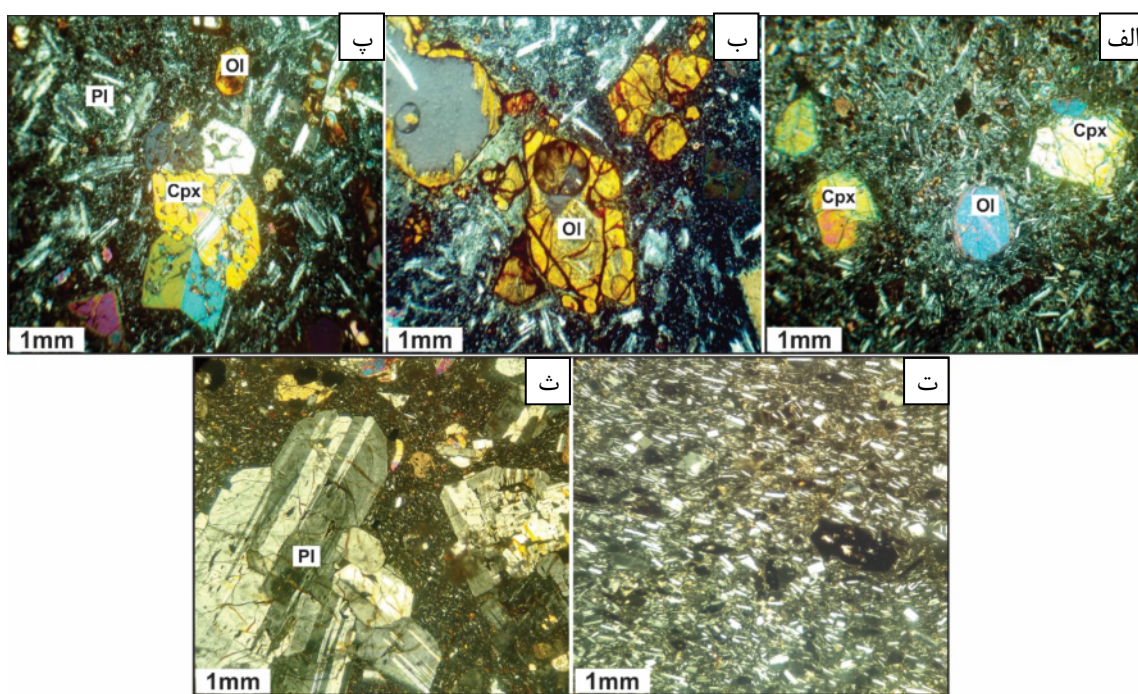
منطقه گزبلند در شمال غرب شهرستان شهربابک، در غرب استان کرمان، بین مختصات جغرافیایی $30^{\circ} 39' \text{ تا } 36^{\circ} 55'$ طول شرقی واقع است. این منطقه به لحاظ تقسیم‌بندی پهنه‌های زمین‌شناسی و ساختاری ایران، در کمربند دهچ - ساردوئیه واقع در جنوب شرقی کمربند آتشفشاری - نفوذی ارومیه دختر قرار دارد (شکل ۱ الف). در این منطقه، واحدهای سنگی مربوط به سنوزوئیک (از ائوسن تا پلیو - پلیستوسن) را می‌توان دید (شکل ۱ ب). بر اساس بررسی‌های صحرایی و همچنین نقشه زمین‌شناسی سازند سرخ پایینی با ضخامت بیش از ۲۵۰ متر، سازند قم با لایه‌های سنگ آهک به همراه میان‌لایه‌هایی از مارن‌های هوازده خاکستری رنگ به سن میوسن پیشین و ضخامت ۸۰ متر و همچنین سازند سرخ بالایی با سنگ‌های رسی - توفی قمز رنگ، کوارتز خاکستری و ماسه سنگ به همراه کربنات و کنگلومراها با ضخامتی حدود ۲۰۰ متر در بخش شرقی و شمال



شکل ۱ (الف) نقشه ساختاری ایران که موقعیت منطقه گزبلند در پهنه‌های ساختاری ایران را نشان می‌دهد (ترکیب شده از مراجع [۲۵، ۲۴])؛
ب) نقشه زمین‌شناسی منطقه گزبلند، برگرفته از نقشه ۱:۱۰۰۰۰۰ دهگ [۲۲].



شکل ۲ (الف) واحد بازالتی با ساختی متراکم در منطقه گزبلند و ب) رخنمون توده بازالتی در غرب منطقه گزبلند.



شکل ۳ تصاویر میکروسکوپی بازالت‌های گزبلند (در نور قطبیده متقطع، XPL): (الف) بافت ریزسنگی پورفیری ناشی از قرارگیری درشت بلورهای الیوین و کلینوپیروکسن در زمینه ریزسنگی بازالت‌های منطقه گزبلند. گاهی بافت میاندانه‌ای ضعیف و ریزی نیز در این سنگ‌ها دیده می‌شود، (ب) لبه‌های خورده شده و خلیج مانند در بلورهای الیوین، (پ) ماکل ساده و رگه‌ای در کلینوپیروکسن، (ت) حضور ریزسنگ‌های پلاژیوکلاز در زمینه سنگ‌های بازالتی گزبلند و (ث) درشت بلورهای پلاژیوکلاز در بازالت‌های گزبلند. (Ol = الیوین، Cpx = کلینوپیروکسن، Pl = پلاژیوکلاز [۲۶]).

دارند (شکل ۳ ث). این کانی‌ها با اندازه ۰/۱ تا ۲ میلی‌متر، کمتر از ۱۰ درصد حجمی سنگ را شامل می‌شوند.

بحث و بررسی

شیمی کانی کلینوپیروکسن

نتایج تجزیه نقطه‌ای پیروکسن‌های موجود در بازالت‌های گزبلند در جدول ۱ آورده شده است. کلینوپیروکسن‌ها از مهمترین کانی‌های موجود در سنگ‌های آذرین بازی هستند که بررسی ترکیب شیمیایی و محاسبه فرمول ساختاری آن‌ها می‌تواند اطلاعات بسیار مهمی پیرامون ویژگی‌های مagmaی وجود آورنده آن‌ها ارائه دهد [۱۴، ۲۷، ۲۸]. به باور کندری و سالویولو [۲۹]، توانایی یک پیروکسن برای بازتاب شیمی مذابی که از آن متبلور شده است، بستگی به جانشینی‌های کاتیونی ممکن در پیروکسن دارد. کاتیون‌های موجود در جایگاه‌های ساختاری کلینوپیروکسن در تعادل با magma می‌ذیبان هستند و می‌توانند نشان دهنده خاستگاه magma مادر، سری magma، دما و فشار تبلور سنگ و جایگاه زمین‌ساختی magma می‌ذیبان باشند [۱۴، ۱۹، ۳۰، ۳۱]. پیروکسن که از گروه

کانی کدر رایج‌ترین کانی فرعی موجود در این سنگ‌هاست که به صورت درشت بلور و ریزبلور در متن سنگ حضور دارد. همچنین کلسیت، کلریت و اکسیدهای آهن از کانی‌های ثانویه این سنگ‌ها هستند. درشت بلورهای الیوین با اندازه ۰/۵ تا ۳ میلی‌متر، گاهی تا ۲۵ درصد حجمی این سنگ‌ها را تشکیل می‌دهند. این بلورها به صورت خودشکل و بیشتر بصورت نیمه شکل دار و بی‌شکل تا گرد شده بوده که گاهی دارای لبه‌های خورده شده و خلیج مانند هستند (شکل ۳ ب). درشت بلورهای کلینوپیروکسن به شکل‌های منشوری تا بی‌شکل و گاهی همراه با ماکل ساده و رگه‌ای دیده می‌شوند که بعضی اورالیتی نیز شده‌اند (شکل ۳ پ). این کانی‌ها با اندازه متوسط ۰/۵ تا ۳/۵ میلی‌متر، ۱۸ تا ۲۰ درصد حجمی این سنگ‌ها را تشکیل می‌دهند (شکل ۳ الف). پلاژیوکلازها به دو صورت درشت بلور و ریزسنگ در زمینه این سنگ‌ها حضور دارند (شکل‌های ۳ ت و ث). درشت بلورهای پلاژیوکلاز بیشتر بصورت تیغه‌ای و تقریباً شکل دار تا نیمه شکل دار فراوانی کمی

$\text{CaR}^{3+}\text{R}^{3+}\text{SiO}_6$ (CaAlAlSiO_6) به ویژه مؤلفه CaAlAlSiO_6 و نقش کمرنگ مؤلفه آكمیتی ($\text{NaFe}^{3+}\text{Si}_2\text{O}_6$) در ترکیب کلینوپیروکسن‌های بازالت‌های گزبلند است. بر این اساس، با توجه به نمودار Si نسبت به Al کل [۳۳]، نمونه‌های گزبلند در بالای خط اشباع قرار دارند (شکل ۴ پ). در این نمودار، گستره چاروجهی بیانگر کلینوپیروکسن‌هایی است که بخشی از جایگاه‌های چاروجهی ساختار آن‌ها با دو کاتیون Si و Al پر شده است و گستره هشت‌وجهی نشان می‌دهد که جایگاه‌های چاروجهی ساختار کلینوپیروکسن تنها با Si پر شده است [۳۴]. پاپیک و همکاران [۳۵] بر این باورند که قرار گرفتن کلینوپیروکسن‌ها در گستره چاروجهی نشان می‌دهد که ماگمایی مادر این کانی‌ها فقیر از سیلیس بوده است. کلینوپیروکسن‌های با عدد منیزیم ($\text{Mg}^{\#}$) کمتر از ۸۶٪ ناشی از جدایش ماگمایی هستند [۳۶]. بر این اساس، نمونه‌های مورد بررسی با عدد منیزیم بین ۶۲ تا ۷۸ درصد (بطور متوسط ۶۹٪؛ جدول ۱) برآمده از جدایش ماگمایی هستند.

تعیین سری ماگمایی

به اعتقاد بسیاری از پژوهشگران، ترکیب شیمیایی پیروکسن به علت حضور این کانی در بخش قابل توجهی از مدت تبلور در ارتباط نزدیک با ترکیب ماگمایی میزان است؛ این امر سبب شده است که بتوان از شیمی کانی پیروکسن در تعیین سری ماگمایی ماگماهای مادر استفاده نمود [۱۴، ۳۱، ۳۷، ۳۸]. به باور لی‌باس [۱۳]، مشارکت عناصری چون Si، Al و Ti در شبکه ساختاری کلینوپیروکسن به درجه قلیایی بودن ماگما بستگی دارد و از این رو، نقش تعیین‌کننده‌ای در سرشت ماگماها دارند. بر این اساس، لی‌باس [۱۳] بر پایه مقادیر Al_2O_3 نسبت به SiO_2 موجود در کلینوپیروکسن‌ها، سه دسته ماگمایی پرقلیایی، قلیایی و نیمه‌قلیایی و بر اساس مقادیر Al_2O_3 در مقابل TiO_2 ، سه دسته ماگمایی قلیایی، تولئیتی و آهکی - قلیایی را از هم تفکیک کرد. با توجه به این نمودارها، کلینوپیروکسن‌های منطقه گزبلند به ترتیب در گستره‌های نیمه‌قلیایی و آهکی - قلیایی جای دارند (شکل ۵) که نتایج تجزیه سنگ کل بازالت‌های گزبلند [۳۹] نیز آن را تأیید می‌کند. پژوهشگران معتقدند که سرشت آهکی - قلیایی می‌تواند ناشی از جدایش ماگمایی بازالتی آبدار باشد [۴۰، ۴۱].

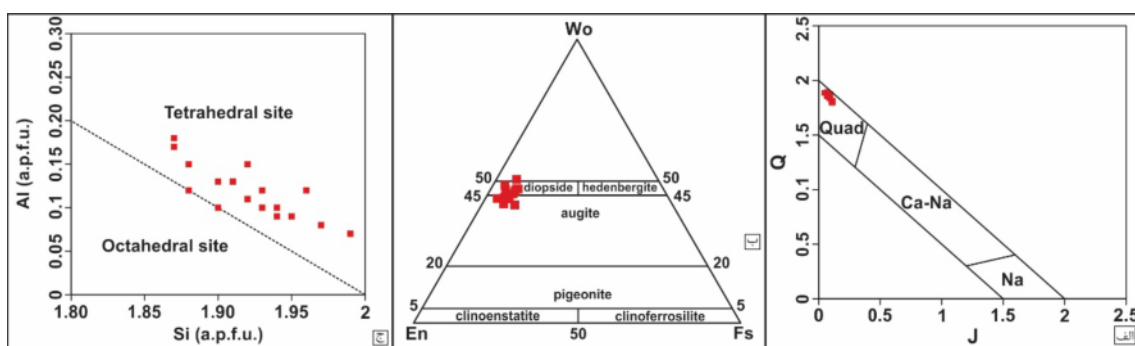
سیلیکات‌های زنجیره‌ای است، دارای فرمول ساختاری $\text{M}_2\text{M}_1\text{T}_2\text{O}_6$ است. در این فرمول، T نشان دهنده جایگاه چاروجهی است که با کاتیون‌های Al^{3+} , Si^{4+} و سپس Fe^{3+} پر می‌شود، بطوریکه ظرفیت کاتیونی این جایگاه در مجموع ۲ مول است. M_1 و M_2 نشانگر جایگاه‌های هشت‌وجهی هستند که ظرفیت کاتیونی هر یک در مجموع ۱ مول است. M_1 با کاتیون‌های Al^{3+} و Fe^{3+} باقیمانده از جایگاه T پر می‌شود و اگر این عناصر برای پر کردن این جایگاه کافی نباشند، یون‌های Zn^{2+} , Sc^{3+} , Zr^{4+} , Ti^{3+} , V^{3+} , Cr^{3+} , Mg^{2+} , Fe^{2+} و سرانجام Mn^{2+} می‌توانند در این جایگاه قرار گیرند. جایگاه M_2 نیز با کاتیون‌های Mg^{2+} , Fe^{2+} و Mn^{2+} باقیمانده از جایگاه M_1 پر می‌شود. افزون بر این، کاتیون‌های M_2 بزرگتر [Li^+ , K^+] و نیز Ca^{2+} نیز به مربوط به جایگاه M_2 هستند [۳۰]. رده‌بندی و نامگذاری پیروکسن‌ها بر پایه کاتیون‌های موجود در جایگاه‌های M_1 و M_2 انجام می‌شود. بر این اساس، موریموتو و همکاران [۳۰] پیروکسن‌ها را به چهار گروه شیمیایی پیروکسن‌های Ca-Mg-Fe دار (Quad)، گروه شیمیایی پیروکسن‌های Ca-Na دار، پیروکسن‌های Na دار و سایر پیروکسن‌ها تقسیم کردند. بطور کلی، جایگاه‌های M_1 و M_2 هر دو به عنوان جایگاه M در نظر گرفته می‌شوند. تعداد کاتیون‌های Ca, Mg, Fe و Na در جایگاه M در نمودار $\text{Q} = \text{Ca} + \text{Mg} + \text{Fe}^{2+} / 2\text{Na}$ نسبت به $\text{J} = \text{En-Wo-Fs}$ استفاده شد. بر پایه این نمودار، کلینوپیروکسن‌های موجود در سنگ‌های بازالتی گزبلند در گستره کلینوپیروکسن‌های گروه یک یعنی کلینوپیروکسن‌های کلسیم - منیزیم - آهن‌دار (Quad) قرار دارند (شکل ۴ الف). برای تفکیک پیروکسن‌های Quad از نمودار سه تایی En-Wo-Fs استفاده شد. بر پایه این نمودار، نمونه‌های گزبلند در گستره دیوپسید - اوژیت جای دارند (شکل ۴ ب). بر این اساس، ترکیب شیمیایی کلینوپیروکسن‌ها در بازالت‌های گزبلند بصورت $\text{En}_{43.13-52.44}-\text{Wo}_{41.65-50.71}-\text{Fs}_{3.62-10.11}$ است. در بررسی روابط بین Al^{3+} کل، Si^{4+} و Ti^{4+} در بلورهای کلینوپیروکسن [۳۲]، Al موجود در نمونه‌های تجزیه شده بیش از مقدار مورد نیاز برای موازن کمبود Si در جایگاه چاروجهی (برای مثال، $\text{Al: Ti} > 2-\text{Si}$) و Ti در جایگاه هشت‌وجهی (برای مثال، $\text{Al: Ti} \geq 6$) بود. این امر گویای نقش اساسی مؤلفه‌های چرماکی

جدول ۱ داده‌های تجزیه ریزکاو پرتوی ایکس بازالت‌های گزبلند به همراه مقدار کاتیون‌ها و درصد سازه‌های آن‌ها.

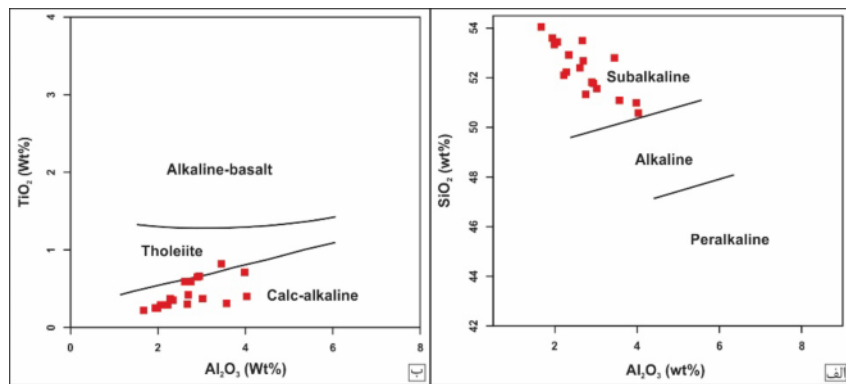
| Wt.% | P1 | P2 | P3 | P4 | P5 | P6 | P7 | P8 | P9 |
|--|--------|--------|--------|--------|--------|--------|--------|--------|--------|
| SiO ₂ | 51.56 | 52.68 | 52.44 | 50.99 | 53.50 | 52.40 | 50.58 | 51.82 | |
| TiO ₂ | 0.37 | 0.42 | 0.29 | 0.71 | 0.30 | 0.25 | 0.59 | 0.40 | 0.65 |
| Al ₂ O ₃ | 3.02 | 2.69 | 2.06 | 3.98 | 2.67 | 1.94 | 2.61 | 4.03 | 2.90 |
| Cr ₂ O ₃ | 0.35 | 0.25 | 0.15 | 0.52 | 0.56 | 0.62 | 0.27 | 0.76 | 0.29 |
| FeO | 5.86 | 5.68 | 5.06 | 6.09 | 4.24 | 3.99 | 5.63 | 6.64 | 6.26 |
| MnO | 0.12 | 0.15 | 0.19 | 0.20 | 0.22 | 0.15 | 0.12 | 0.34 | 0.09 |
| MgO | 16.43 | 16.34 | 16.66 | 15.21 | 16.49 | 17.44 | 16.13 | 13.92 | 15.12 |
| CaO | 21.45 | 20.57 | 21.12 | 21.60 | 21.12 | 19.85 | 21.53 | 22.77 | 22.43 |
| Na ₂ O | 0.28 | 0.18 | 0.27 | 0.43 | 0.59 | 0.71 | 0.68 | 0.64 | 0.36 |
| مجموع | 99.44 | 99.65 | 99.91 | 100.23 | 99.69 | 98.55 | 99.84 | 100.08 | 99.92 |
| Mg# | 69.00 | 69.00 | 72.00 | 64.00 | 75.00 | 77.00 | 69.00 | 62.00 | 65.00 |
| مقدار کاتیون‌های محاسبه شده بر اساس اتم اکسیژن | | | | | | | | | |
| Si | 1.90 | 1.93 | 1.95 | 1.87 | 1.96 | 1.97 | 1.92 | 1.87 | 1.91 |
| Ti | 0.01 | 0.01 | 0.01 | 0.02 | 0.01 | 0.01 | 0.02 | 0.01 | 0.02 |
| Al ^(IV) | 0.09 | 0.06 | 0.04 | 0.11 | 0.04 | 0.02 | 0.06 | 0.12 | 0.07 |
| Al ^(VI) | 0.04 | 0.06 | 0.05 | 0.06 | 0.08 | 0.06 | 0.05 | 0.05 | 0.05 |
| Fe ⁺³ | 0.06 | 0.06 | 0.05 | 0.06 | 0.00 | 0.00 | 0.05 | 0.10 | 0.04 |
| Fe ⁺² | 0.12 | 0.11 | 0.11 | 0.14 | 0.13 | 0.12 | 0.13 | 0.11 | 0.16 |
| Cr | 0.01 | 0.01 | 0.00 | 0.02 | 0.02 | 0.02 | 0.01 | 0.02 | 0.01 |
| Mn | 0.00 | 0.00 | 0.01 | 0.01 | 0.01 | 0.00 | 0.00 | 0.01 | 0.00 |
| Mg | 0.90 | 0.89 | 0.91 | 0.83 | 0.90 | 0.96 | 0.88 | 0.77 | 0.83 |
| Ca | 0.85 | 0.81 | 0.83 | 0.85 | 0.83 | 0.78 | 0.85 | 0.90 | 0.89 |
| Na | 0.02 | 0.06 | 0.05 | 0.03 | 0.04 | 0.05 | 0.04 | 0.05 | 0.03 |
| مجموع | 4.00 | 4.00 | 4.01 | 4.00 | 4.02 | 3.99 | 4.01 | 4.02 | 4.02 |
| %Wo | 45.37 | 44.53 | 45.12 | 46.81 | 44.58 | 42.03 | 45.62 | 50.71 | 47.27 |
| %En | 48.36 | 49.22 | 49.06 | 45.63 | 48.43 | 51.31 | 47.55 | 43.13 | 49.34 |
| %Fs | 6.27 | 6.26 | 5.82 | 7.79 | 6.99 | 6.59 | 6.83 | 6.16 | 8.39 |
| F ₁ | 0.19- | 0.12- | 0.12- | 0.13- | 0.12- | 0.12- | 0.14- | 0.13- | 0.18- |
| F ₂ | 2.81- | 2.47- | 2.48- | 2.44- | 2.50- | 2.44- | 2.46- | 2.40- | 2.43- |
| X _{PT} | 38.06 | 37.97 | 38.80 | 37.35 | 38.23 | 38.17 | 38.38 | 37.11 | 38.40 |
| Y _{PT} | 29.97- | 30.20- | 30.81- | 29.04- | 31.13- | 31.36- | 30.00- | 28.89- | 29.25- |

داده جدول ۱

| Wt.% | P10 | P11 | P12 | P13 | P14 | P15 | P16 | P17 | P18 |
|--|--------|--------|--------|--------|--------|--------|--------|--------|--------|
| SiO ₂ | 51.33 | 52.80 | 51.77 | 54.05 | 51.09 | 52.23 | 52.10 | 53.34 | 52.92 |
| TiO ₂ | 0.59 | 0.82 | 0.66 | 0.22 | 0.31 | 0.37 | 0.29 | 0.25 | 0.35 |
| Al ₂ O ₃ | 2.75 | 3.45 | 2.94 | 1.67 | 3.57 | 2.28 | 2.22 | 1.99 | 2.34 |
| Cr ₂ O ₃ | 0.07 | 0.49 | 0.22 | 0.01 | 0.67 | 0.15 | 0.42 | 0.26 | 0.04 |
| FeO | 6.45 | 6.12 | 5.95 | 3.92 | 6.15 | 5.83 | 5.03 | 5.13 | 6.02 |
| MnO | 0.16 | 0.13 | 0.09 | 0.25 | 0.10 | 0.11 | 0.14 | 0.21 | 0.08 |
| MgO | 15.58 | 16.38 | 15.20 | 17.67 | 15.64 | 17.62 | 15.70 | 17.11 | 16.80 |
| CaO | 22.03 | 19.68 | 22.51 | 20.24 | 21.17 | 20.54 | 21.32 | 21.06 | 20.85 |
| Na ₂ O | 0.78 | 0.61 | 0.33 | 0.49 | 0.77 | 0.60 | 0.54 | 0.63 | 0.69 |
| مجموع | 99.74 | 100.48 | 99.87 | 98.52 | 99.47 | 99.73 | 98.27 | 99.98 | 99.89 |
| Mg# | 65.00 | 67.00 | 67.00 | 78.00 | 66.00 | 70.00 | 69.00 | 72.00 | 68.00 |
| مقدار کاتیون‌های محاسبه شده بر اساس اتم اکسیژن | | | | | | | | | |
| Si | 1.88 | 1.92 | 1.91 | 1.99 | 1.88 | 1.90 | 1.94 | 1.94 | 1.93 |
| Ti | 0.02 | 0.12 | 0.02 | 0.01 | 0.11 | 0.01 | 0.11 | 0.01 | 0.01 |
| Al ^(IV) | 0.10 | 0.05 | 0.08 | 0.00 | 0.11 | 0.09 | 0.05 | 0.05 | 0.06 |
| Al ^(VI) | 0.02 | 0.09 | 0.05 | 0.07 | 0.04 | 0.01 | 0.05 | 0.04 | 0.04 |
| Fe ⁺³ | 0.13 | 0.00 | 0.04 | 0.00 | 0.11 | 0.11 | 0.13 | 0.05 | 0.06 |
| Fe ⁺² | 0.17 | 0.19 | 0.15 | 0.12 | 0.18 | 0.07 | 0.14 | 0.10 | 0.12 |
| Cr | 0.00 | 0.01 | 0.01 | 0.00 | 0.02 | 0.00 | 0.01 | 0.01 | 0.00 |
| Mn | 0.00 | 0.00 | 0.01 | 0.00 | 0.00 | 0.00 | 0.01 | 0.01 | 0.00 |
| Mg | 0.85 | 0.89 | 0.84 | 0.97 | 0.86 | 0.96 | 0.87 | 0.93 | 0.91 |
| Ca | 0.87 | 0.77 | 0.89 | 0.80 | 0.83 | 0.80 | 0.85 | 0.82 | 0.81 |
| Na | 0.08 | 0.04 | 0.02 | 0.03 | 0.05 | 0.04 | 0.04 | 0.04 | 0.05 |
| مجموع | 4.00 | 3.99 | 4.01 | 4.00 | 4.00 | 3.99 | 3.99 | 4.00 | 3.99 |
| %Wo | 48.55 | 41.65 | 47.37 | 42.27 | 47.01 | 42.94 | 45.59 | 44.33 | 43.87 |
| %En | 47.78 | 48.24 | 44.80 | 51.34 | 48.22 | 52.84 | 46.71 | 50.10 | 49.65 |
| %Fs | 3.67 | 10.11 | 7.82 | 6.39 | 4.87 | 3.62 | 2.77 | 0.57 | 6.48 |
| F ₁ | 0.84- | 0.83- | 0.84- | 0.79- | 0.80- | 0.79- | 0.81- | 0.81- | 0.81- |
| F ₂ | 2.41- | 2.53- | 2.43- | 2.51- | 2.39- | 2.43- | 2.41- | 2.48- | 2.46- |
| X _{PT} | 38.08 | 37.69 | 38.82 | 38.78 | 37.14 | 38.48 | 38.10 | 38.88 | 38.58 |
| Y _{PT} | 29.21- | 29.98- | 29.44- | 31.60- | 29.53- | 30.50- | 29.70- | 30.92- | 30.34- |



شکل ۴ ترکیب شیمیایی کلینوپیروکسن‌های بازالت‌های گزبلندهای [۳۰] (الف) نمودار $J=2Na$ و $Q=Ca+Mg+Fe^{2+}$ که بر اساس آن کلینوپیروکسن‌ها در گستره Quad جای دارند. ب) نمودار سه‌تایی En-Wo-Fs [۳۰] که بر پایه آن، کلینوپیروکسن‌های Quad ترکیب دیوپسید-اوژیت دارند. پ) نمودار Si نسبت به Al [۳۲] که بر اساس آن، کلینوپیروکسن‌ها در بالای خط اشباع قرار دارند.



شکل ۵ تعیین سری ماقمایی بازالت‌های گزبلندهای [۱۳] (الف) نمودار Al_2O_3 نسبت به TiO_2 که بر اساس آن، نمونه‌ها در گستره آهکی-قليایي جای دارند. (ب) نمودار Al_2O_3 نسبت به TiO_2 که بر پایه آن، نمونه‌ها در گستره آهکی-قليایي جای دارند.

[۱۳، ۴۴، ۴۵] استفاده شد. بر این اساس، روند نمونه‌ها نسبت به افزایش TiO_2 مشابه با قوس‌های ماقمایی است (شکل‌های ۶ الف و ب) که نتایج تجزیه سنگ کل بازالت‌های گزبلندهای نیز آن را تأیید می‌کند [۳۹]. همچنین، بر پایه نمودار F_1 نسبت به F_2 ، برخی پیروکسن‌ها در گستره بازالت‌های قوس آتشفشاری و تعدادی دیگر در گستره مشترک بازالت‌های قوس آتشفشاری و بازالت‌های کف اقیانوس قرار دارند (شکل ۶ پ). از این رو، پیدایش این بازالت‌ها را می‌توان مربوط به محیط زمین‌ساختی وابسته به قوس دانست و از طرفی، نمی‌توان بطور کامل اثر محیط کششی در پیدایش این بازالت‌ها را نادیده گرفت. مقادیر F_1 و F_2 بر پایه روابط ارائه شده توسط نیسبت و پیرس [۳۷] محاسبه شد:

$$F_1 = -0.012 \times SiO_2 - 0.0807 \times TiO_2 + 0.0026 \times Al_2O_3 - 0.0012 \times FeO^* - 0.0026 \times MnO + 0.0087 \times MgO - 0.0128 \times CaO - 0.0419 \times Na_2O \quad (1)$$

خاستگاه زمین‌ساختی

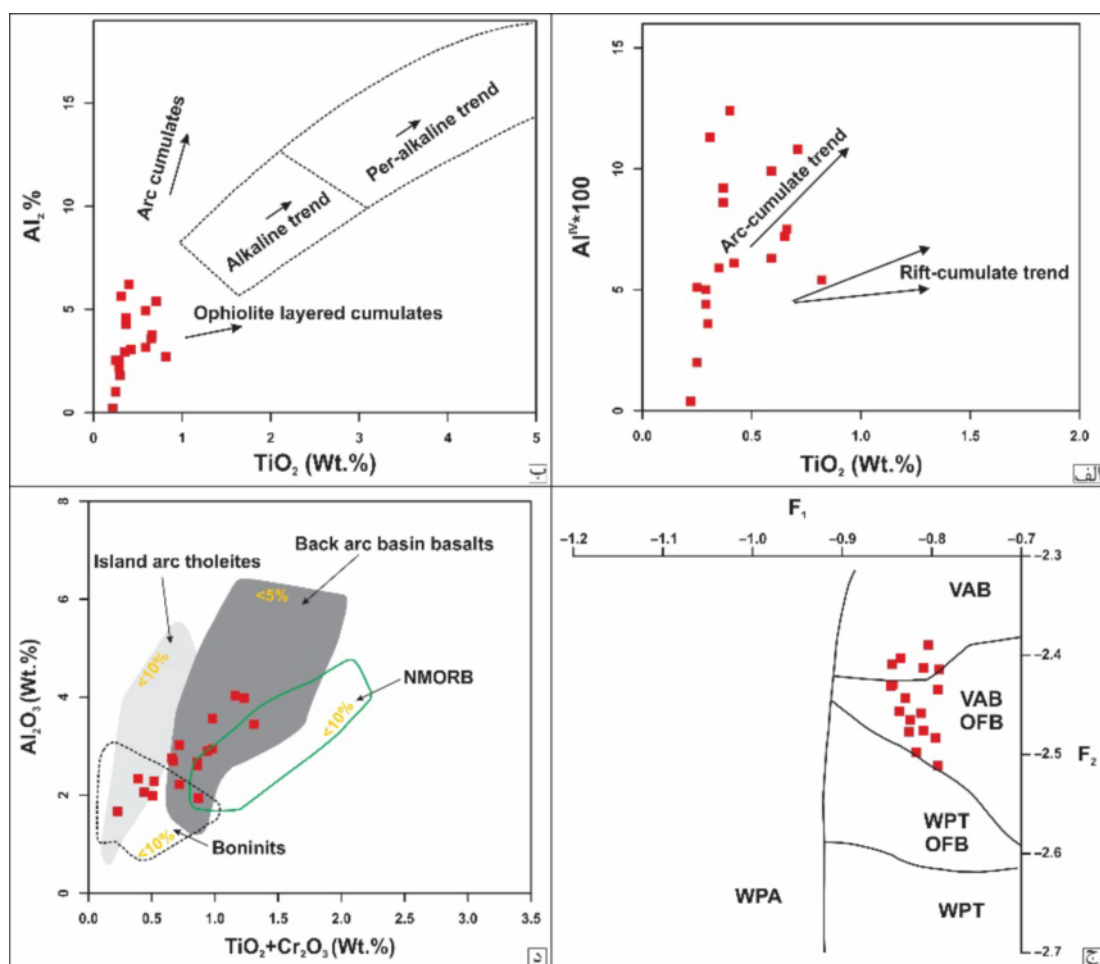
ترکیب شیمیایی کلینوپیروکسن وابسته به ترکیب شیمیایی و خاستگاه ماقمایی مادر آن است و از این رو، می‌تواند اطلاعات با ارزشی پیرامون خاستگاه زمین‌ساختی ارائه دهد [۱۳]. در ترکیب شیمیایی کانی پیروکسن، فراوانی عنصری چون Na ، Cr ، Ti ، Al و بویژه Si گویای ماهیت و خاستگاه زمین‌ساختی تشکیل‌دهنده آن است [۱۳، ۱۴، ۳۸، ۴۲]. کلینوپیروکسن‌های سنگ‌های گزبلندهای TiO_2 حدود ۰/۲۲ تا ۰/۸۲ درصد وزنی دارند. کم بودن مقدار TiO_2 در این کلینوپیروکسن‌ها بیانگر تهی بودن ماقمایی مادر آنها از TiO_2 است. به باور بکالووا و همکاران [۳۱]، این ویژگی گویای پیدایش این سنگ‌ها در زمین‌ساختی وابسته به قوس و یا نشان دهنده تأثیر فرورانش پیشین ماقمایی مادر آنهاست. به منظور نتیجه‌گیری بهتر، از نمودارهای TiO_2 نسبت به Al_Z ($Al^{IV} \times 100/2$) و TiO_2 نسبت به $Al^{IV} \times 100$ [۴۳]

پشت قوسی قرار دارند [۳۹].

عوامل ترمودینامیکی مؤثر در تبلور پیروکسن‌های گزبلندها تغییرات فشار (P)، دما (T) و گریزندگی اکسیژن به شدت بر تاریخچه تبلور و ترکیبات کانی پیروکسن در سامانه‌های ماقمایی اثر دارند. از این رو، ارزیابی پارامترهای ترمودینامیکی از مدل‌های فعالیت بر پایه ترکیب‌های کانیابی به منظور بازسازی تاریخچه ماقمایی نمونه‌های مورد بررسی ضروری است. این پارامترها در ادامه بررسی شده‌اند.

$$F_2 = -0.0469 \times SiO_2 - 0.0818 \times TiO_2 - 0.0212 \times Al_2O_3 - 0.0041 \times FeO^* - 0.1435 \times MnO - 0.0029 \times MgO + 0.0085 \times CaO + 0.0160 \times Na_2O \quad (2)$$

در نمودار $TiO_2 + Cr_2O_3$ نسبت به Al_2O_3 [۴۶] نیز، نمونه‌های گزبلندهای بیشتر در گستره متناسب با محیط زمین‌ساختی پشت قوسی و برخی از آنها در گستره مشترک تولیت‌های جزایر قوسی و بونینیت‌ها واقع هستند (شکل ۶ت) که بر اساس نتایج تجزیه سنگ کل نیز بازالت‌های گزبلندهای با ماهیت آهکی - قلیایی در محیط قوس آتشفسانی در حوضه



شکل ۶ تعیین خاستگاه زمین‌ساختی بازالت‌های گزبلندهای گلینوپیروکسن‌ها. الف و ب) نمودارهای TiO_2 نسبت به $Al^{IV}*100$ [۴۳] و TiO_2 نسبت به Al_z [۴۴] که بر اساس آنها، نمونه‌های گزبلندهای چاروچهی کانی کلینوپیروکسن جای می‌گیرد و برابر است با: $(Al_z = (Al^{IV}*100)/2)$; پ) نمودار Al_z نسبت به $TiO_2 + Cr_2O_3$ [۳۷] که در جایگاه چاروچهی کانی کلینوپیروکسن جای می‌گیرد و گستره مشترک بازالت‌های قوس آتشفسانی و گستره مشترک بازالت‌های قوس آتشفسانی نسبت به F_2 [۳۷] که با توجه به آن، نمونه‌های گزبلندهای چاروچهی کانی کلینوپیروکسن جای می‌گیرد و گستره مشترک بازالت‌های قوس آتشفسانی و بازالت‌های کف اقیانوس (OFB) جای دارد (WPA: بازالت‌های قلیایی درون‌صفحه‌ای و WPT: بازالت‌های تولیتی درون‌صفحه‌ای؛ ت) نمودار $TiO_2 + Cr_2O_3$ نسبت به Al_2O_3 [۴۶] که بر پایه آن، نمونه‌های گزبلندهای گلینوپیروکسن‌های گزبلندهای چاروچهی کانی کلینوپیروکسن جای می‌گیرد و گستره مشترک تولیت‌های جزایر قوسی و بونینیت‌ها واقع هستند.

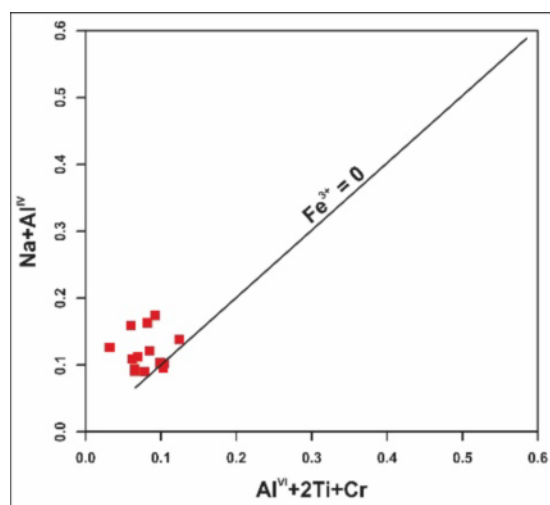
$\text{Al}^{\text{VI}}+2\text{Ti}+\text{Cr}$ نسبت به $\text{Na}+\text{Al}^{\text{IV}}$ ، قرارگیری نمونه‌ها در بالا یا پایین خط $0 = \text{Fe}^{3+}$ به ترتیب بیانگر بالا یا پایین بودن گریزندگی اکسیژن در محیط تشکیل پیروکسن‌هاست. هر چه فاصله نمونه‌ها از خط $0 = \text{Fe}^{3+}$ بیشتر باشد، مقدار گریزندگی اکسیژن در محیط تشکیل آن‌ها بیشتر یا کمتر بوده است [۵۰، ۵۴-۵۲].

دما و فشارسننجی کلینوپیروکسن‌های گزبلند

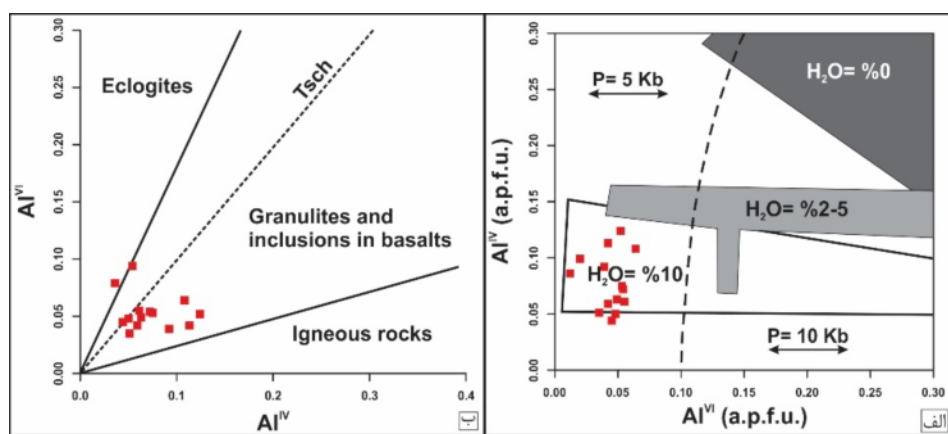
بر پایه ترکیب شیمیایی پیروکسن‌ها، می‌توان دما و فشار تشکیل سنگ‌های در بردارنده آن‌ها را برآورد کرد [۵۵]. برای تعیین فشار زمان تشکیل سنگ‌های دارای کلینوپیروکسن، می‌توان از روش‌های مختلفی استفاده کرد. به عقیده هلز [۵۶]، توزیع Al در جایگاه‌های چاروجهی و هشتوجهی کلینوپیروکسن‌ها معیار مناسبی برای برآوردن مقدار آب مagma و فشار محیط تشکیل سنگ‌های آذرین است. از این‌رو، هر چه مقدار Al^{IV} افزایش یابد، مقدار آب در محیط تبلور کلینوپیروکسن کاهش می‌یابد. در نمودار Al^{VI} نسبت به Al^{IV} [۵۶]، توزیع آلومینیوم چاروجهی و هشتوجهی در کلینوپیروکسن‌ها به تناسب فشار و مقدار آب مagma نشان داده شده است (شکل ۸ الف). بر پایه این نمودار، مagma مادر شده است (شکل ۸ الف). بر پایه این نمودار، مagma مادر بازالت‌های گزبلند طی تبلور کانی کلینوپیروکسن دارد حدود ۱۰ درصد آب با فشار ۵ کیلوبار بوده است. افزون بر این، بر اساس نمودار Al^{IV} نسبت به Al^{VI} [۵۷، ۵۸] نیز، پیروکسن‌های موجود در بازالت‌های گزبلند در گستره میانبارهای موجود در بازالت‌ها قرار دارند که بیانگر تبلور در شرایط فشار متوسط است (شکل ۸ ب).

گریزندگی اکسیژن

یکی از شرایط ترمودینامیکی تشکیل سنگ‌های آذرین افزون بر دما و فشار، گریزندگی گازها به ویژه اکسیژن است. گریزندگی اکسیژن اثر ویژه‌ای بر تغییر دمای ذوب و ترکیب مذاب و بلور دارد [۴۷]. این پارامتر عامل مؤثری در کنترل فرایندهای مagma مایی است و نقش بسزایی در تبلور و نوع کانی تبلور یافته دارد [۴۸، ۴۹]. برای بررسی گریزندگی اکسیژن و حالت‌های مختلف اکسایش در زمان تشکیل کانی‌ها، می‌توان از تفاوت‌های موجود در مقدار Fe^{3+} استفاده کرد. به این منظور، برای تعیین گریزندگی اکسیژن magma مادر بازالت‌های گزبلند از نمودار $\text{Al}^{\text{VI}}+2\text{Ti}+\text{Cr}$ نسبت به $\text{Na}+\text{Al}^{\text{IV}}$ [۵۰] استفاده شد. این نمودار بر پایه موازنی Al موجود در جایگاه چاروجهی با Al و Cr موجود در جایگاه هشتوجهی (M_1)، تهیه شده است. با توجه به این نمودار، می‌توان گفت که شرایط محیطی تشکیل این سنگ‌ها اکسایشی بوده است و نمونه‌های گزبلند در گستره گریزندگی بالا و نزدیک به خط $0 = \text{Fe}^{3+}$ (شکل ۷)؛ نتایج تجزیه سنگ کل بازالت‌های گزبلند [۳۹] نیز این امر را تأیید می‌کند. به طور کلی، در ترکیب پیروکسن‌ها، یون Fe^{3+} در جایگاه هشتوجهی جانشین عناصر سه ظرفیتی چون Al^{VI} ، Al^{VI} و Cr می‌شود. بنابراین، فراوانی Fe^{3+} در پیروکسن‌ها بستگی به مقدار Al^{VI} و موازنی Al در جایگاه‌های چاروجهی و هشتوجهی ساختار پیروکسن دارد. از این‌رو، هر چه Al^{IV} بیشتری وارد جایگاه چاروجهی شود شرایط برای ورود عناصر سه ظرفیتی دیگر چون Fe^{3+} (به جز آلومینیوم) به جایگاه هشتوجهی فراهم‌تر می‌شود [۵۲، ۵۱]. به این ترتیب، در نمودار



شکل ۷ نمودار $\text{Na}+\text{Al}^{\text{IV}}$ نسبت به $\text{Al}^{\text{VI}}+2\text{Ti}+\text{Cr}$ برای تعیین گریزندگی اکسیژن magma مادر بازالت‌های گزبلند.



شکل ۸ تعیین فشار زمان تشکیل سنگ‌های دارای کلینوپیروکسن در منطقه گزبلندهای مادر بازالت‌های گزبلندهای طی تبلور کانی کلینوپیروکسن دارای حدود ۱۰ درصد آب با فشار ۵ کیلوبار بوده است؛ ب) نمودار Al^{VI} نسبت به Al^{IV} که بر پایه آن، بازالت‌های گزبلند در گستره فشار متوسط جای دارند.

شد. نتایج دما و فشارسنجی ۱۴ نمونه از پیروکسن‌های تجزیه شده بر اساس ترکیب روابط پاتریکا [۲۱] در جدول ۲ ارائه شده است. این روابط برای تک کانی کلینوپیروکسن (Cpx) عبارتند از:

$$\begin{aligned} P(\text{kbar}) &= 3205 + 0.384T(\text{K}) - 518\ln T(\text{K}) - \\ &5.62(X_{\text{Mg}}^{\text{cpx}}) + 83.2(X_{\text{Na}}^{\text{cpx}}) + 68.2(X_{\text{DiHd}}^{\text{cpx}}) + \\ &2.52\ln X_{\text{Al(VI)}}^{\text{cpx}} - 51.1(X_{\text{DiHd}}^{\text{cpx}})^2 + 34.8(X_{\text{EnFs}}^{\text{cpx}})^2 \quad (۵) \end{aligned}$$

$$T(\text{K}) = 93100 + 544P(\text{Kbar}) / [61.1 + 36.6(X_{\text{Ti}}^{\text{cpx}}) + 10.9(X_{\text{Fe}}^{\text{cpx}}) - 0.95(X_{\text{Al}}^{\text{cpx}} + X_{\text{Cr}}^{\text{cpx}} - X_{\text{Na}}^{\text{cpx}} - X_{\text{K}}^{\text{cpx}}) + 0.395[\ln(\varepsilon_{\text{En}}^{\text{cpx}})]]]$$

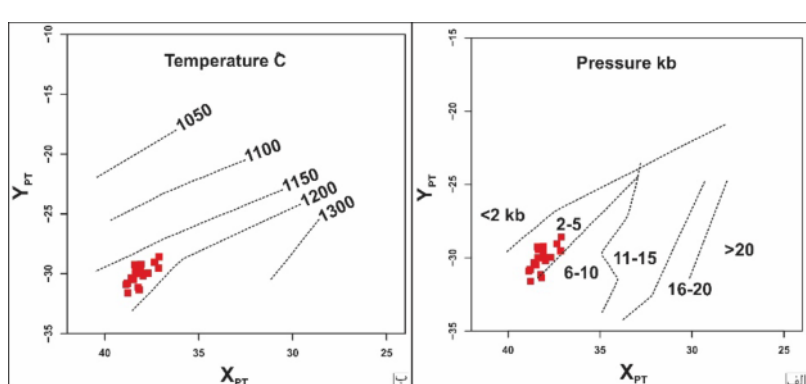
در اینجا، Jd ژائیت، DiHd دیپوپسید + هدانبرژیت و EnFs انستاتیت + فروسلیت هستند. بر این اساس، کلینوپیروکسن‌های مورد بررسی در گستره دمایی ۱۱۳۰ تا ۱۲۴۹ درجه سانتی‌گراد و گستره فشاری حدود ۲ تا ۸ کیلوبار متبلور شده‌اند. این گستره فشاری می‌تواند بیانگر تشکیل کلینوپیروکسن‌ها در زمان بالا آمدگی و پیش از فوران باشد.

سوسو [۵۵] بر پایه متغیرهای X_{PT} و Y_{PT} نمودارهای را طراحی کرد که با استفاده از آن‌ها می‌توان دما و فشار تشکیل پیروکسن‌های موجود در بازالت‌ها را محاسبه کرد. این دو پارامتر از روابط زیر بدست می‌آینند:

$$X_{\text{PT}} = 0.446\text{SiO}_2 + 0.187\text{TiO}_2 - 0.404\text{Al}_2\text{O}_3 + 0.346\text{FeO}(\text{tot}) - 0.052\text{MnO} + 0.309\text{MgO} + 0.431\text{CaO} - 0.446\text{Na}_2\text{O} \quad (۳)$$

$$Y_{\text{PT}} = -0.369\text{SiO}_2 + 0.535\text{TiO}_2 - 0.317\text{Al}_2\text{O}_3 + 0.323\text{FeO}(\text{tot}) + 0.235\text{MnO} - 0.516\text{MgO} - 0.167\text{CaO} - 0.153\text{Na}_2\text{O} \quad (۴)$$

بر این اساس، فشار تبلور کلینوپیروکسن‌ها ۲ تا ۵ کیلوبار و تغییرات دمایی ماقما طی تبلور کلینوپیروکسن‌ها بین ۱۱۵۰ تا ۱۲۰۰ درجه سانتی‌گراد است (شکل ۹). همچنین از نرم افزار SCG [۵۹] برای تعیین شرایط دما و فشار ماقما در زمان تبلور کلینوپیروکسن‌های موجود در بازالت‌های گزبلند استفاده شد.



شکل ۹ تعیین فشار و دمای زمان تشکیل سنگ‌های دارای کلینوپیروکسن در منطقه گزبلندهای مادر بازالت‌های گزبلندهای طی تبلور کانی کلینوپیروکسن دارای حدود ۱۰ درصد آب با فشار ۵ کیلوبار بوده است؛ (الف) پارامتر X_{PT} نسبت به Y_{PT} و (ب) پارامتر Y_{PT} نسبت به X_{PT} .

جدول ۲ نتایج دما - فشارسنجدی کلینوپیروکسن‌های موجود در بازالت‌های گربنده به روش پاتریکا [۲۱].

| نمونه | P2 | P3 | P4 | P5 | P6 | P7 | P8 |
|----------|------|------|------|------|------|------|------|
| T (°C) | ۱۲۲۵ | ۱۲۰۱ | ۱۱۶۹ | ۱۲۳۱ | ۱۲۴۹ | ۱۱۶۴ | ۱۱۴۱ |
| P (kbar) | ۸ | ۵ | ۳ | ۷ | ۸ | ۳ | ۴ |
| نمونه | P9 | P11 | P13 | P14 | P16 | P17 | P18 |
| T (°C) | ۱۱۳۸ | ۱۲۲۸ | ۱۲۳۱ | ۱۱۳۰ | ۱۱۸۳ | ۱۱۹۸ | ۱۲۰۱ |
| P (kbar) | ۲ | ۸ | ۶ | ۵ | ۴ | ۴ | ۵ |

- [6] Shahabpour J., "Aspects of alteration and mineralization at the Sar Cheshmeh copper molybdenum deposit, Kerman, Iran", Ph.D. thesis, University of Leeds, England (1982) 342 p.
- [7] Hezarkhani A., "Petrology of the Intrusive rocks within the Sungun Porphyry Copper Deposit, Azerbaijan, Iran", Journal of Asian Earth Sciences 27 (2006) 326–340.
- [8] Aftabi A., Atapour H., "Comments on "Arc magmatism and subduction history beneath the Zagros Mountains, Iran: A new report of adakites and geodynamic consequences" by J. Omrani, P. Agard, H. Whitechurch, M. Benoit, G. Prouteau, L. Jolivet", Lithos 113 (2009) 844-846.
- [9] Agard P., Omrani J., Jolivet L., Whitechurch H., Vrielynck B., Spakman W., Monie P., Meyer B., Wortel R., "Zagros orogeny: a subduction-dominated process", Geological Magazine 148 (2011) 692-725.
- [10] Verdel C., Wernicke B.P., Hassanzadeh J., Guest B., "A Paleogene extensional arc flare up in Iran", Tectonics 30 (2011) 1-20.
- [11] Karimpour M.H., Stern C.R., Farmer L., Saadat S., Malekezadeh Shafaroudi A., "Review of age, Rb-Sr geochemistry, and petrogenesis of Jurassic to Quaternary igneous rocks in Lut Block, Eastern Iran", Geopersia 1 (2011) 19-36.
- [12] Aghazadeh M., Hou Z., Badrzadeh Z., Zhou L., "Temporal-spatial distribution and tectonic setting of porphyry copper deposits in Iran: constraints from zircon U-Pb and molybdenite Re-Os geochronology", Ore Geology Reviews 70 (2015) 385-406.
- [13] Le Bas M.J., "The role of aluminium in igneous clinopyroxenes with relation to their parentage", American Journal of Science 260 (1962) 267-288.
- [14] Leterrier J., Maury R.C., Thonon P., Girard D., Marchal M., "Clinopyroxene composition as a method of identification of the magmatic affinities of Paleo-volcano series", Earth and Planetary Science Letters 59 (1982) 139-154.

برداشت

سنگ‌های آتشفسانی مورد بررسی با بافت ریزسنگی پورفیری و گلومروپورفیری در اصل از الیوین، کلینوپیروکسن و پلاژیوکلاز تشکیل شده‌اند. همچنین بر پایه نتایج تجزیه ریزکاو پرتوی ایکس ترکیب پیروکسن‌ها دیوپسید - اوژیت است. شیمی کانی کلینوپیروکسن در بازالت‌های گربنده گویای ماهیت آهکی - قلیایی آهاست که در یک خاستگاه زمین‌ساختی وابسته به قوس در محیطی اکسایشی تشکیل شده‌اند. نتایج دما و فشارسنجدی نشان می‌دهد که کلینوپیروکسن‌ها در گستره فشاری ۲ تا ۸ کیلوبار و گستره دمایی ۱۱۳۰ تا ۱۲۴۹ درجه سانتی‌گراد متبلور شده‌اند.

قدردانی

نگارندگان از زحمات جناب آقای مهندس نظام دولتزهی برای کمک در عملیات صحرایی تشکر می‌کنند.

مراجع

- [1] Berberian M., King G.C.P., "Towards a paleogeography and tectonic evolution of Iran", Canadian Journal of Earth Sciences 18 (1981) 210–265.
- [2] Alavi M., "Tectonic of the Zagros orogenic belt of Iran: new data and interpretation", Tectonophysics 229 (1994) 211-238.
- [3] Beiranvandpour A., Hashim M., "Identifying areas of high economic-potential copper mineralization using ASTER data in the Urumieh-Dokhtar volcanic belt, Iran", Advances in Space Research 49 (2012) 753–769.
- [4] Nayebi N., Esmaili D., Ghorbani M., Vesali Y., "Petrology, geochemistry and tectonic setting of Kohe Gor Gor subvolcanic intrusions in the NW of Zarshouran gold deposit (NE Takab, West Azerbaijan) (in persian)", Petrology 7 (2016) 117-134.
- [5] Waterman G.C., Hamilton R.L., "The Sar Cheshmeh porphyry copper deposit", Economic Geology 70 (1975) 568-576.

- Evolution, Geodynamic Series 3, American Geophysical Union, Washington DC (1981) 33-69.
- [26] Whitney D.L., Evans B.W., "Abbreviations for names of rock-forming minerals", American Mineralogist 95 (2010) 185-187.
- [27] Shabnian N., Davoodian Dehkordi A.R., Soheilian F., "Tectono-magmatic characteristics of Bagham pluton in southeastern Ardestan: Base on mineral chemistry of clinopyroxene and amphibole (in persian)", Iranian Journal of Crystallography and Mineralogy 21 (2013) 471-486.
- [28] Sakhaii Z., Davoodian Dehkordi A.R., Shabnian N., Paydari M., "Approach on the characteristics of basic magma rocks sarkoobeh (north Khomein) by clinopyroxene mineral chemistry (in persian)", Iranian Journal of Crystallography and Mineralogy 23 (2015) 533-544.
- [29] Cundari A., Salviulo G., "Ti solubility in diopsidic pyroxene from a suite of New South Wales leucitites (Australia)", Lithos 22 (1989) 191-198.
- [30] Morimoto N., Fabrise J., Ferguson A., Ginzburg I.V., Ross M., Seifert F.A., Zussman J., Akoi K.I., Gottardi G., "Nomenclature of pyroxenes", Mineralogical Magazine 52 (1988) 535-550.
- [31] Beccaluva L., Macciotta G., Piccardo G., Zeda O., "Clinopyroxene composition of ophiolite basalts as petrogenetic indicator", Chemical Geology 77 (1989) 165-182.
- [32] D'Antonio M., Kristensen M.B., "data report: electron microprobe investigation of primary minerals of basalts from the west Philippine sea basin (Ocean Drilling program Leg 195, site 1201)", In: M. Shinohara, M.H. Salisbury, C. Richter (Editors), ODP Proceedings. Scientific Results 195 (2005) 1-24.
- [33] Nosova A.A., Sazonova L.V., Narkisova V.V., Simakin S.G., "Minor elements in clinopyroxene from Paleozoic volcanics of the Tagil Island arc in the Central Urals", Geochemistry International 40 (2002) 219-232.
- [34] Ahankoub M., Shabanian Borujeni N., Davoudian Dehkordi A.R., Makizadeh M.A., "Mineral chemistry of clino-pyroxenes in gabbroic rocks from Darreh-Bid salt dome, Chaharmahal and Bakhtiari (in persian)", Iranian Journal of Crystallography and Mineralogy 20 (2012) 153-168.
- [35] Papike J.J., Cameron K.L., Baldwin K., "Amphiboles and pyroxenes: characterization of other than quadrilateral components and estimates [15] Berger J., Femenias O., Mercier J.C.C., Demaiffe D., "Ocean-floor hydrothermal metamorphism in the Limousin ophiolites (western French Massif Central): evidence of a rare preserved variscan oceanic marker", Journal of Metamorphic Geology 23 (2005) 795-812.
- [16] Dioh E., Béziat D., Grégoire M., Debat P., "Origin of rare earth element variations in clinopyroxene from plutonic and associated volcanic rocks from the Foulde basin, Northern Kedougou inlier, Senegal, West Africa", European Journal of Mineralogy 21 (2009) 1029-1043.
- [17] Putirka K., Johnson M., Kinzler R., Walker D., "Thermobarometry of mafic igneous rocks based on clinopyroxene-liquid equilibria, 0-30 kbar", Contributions to Mineralogy and Petrology 123 (1996) 92-108.
- [18] Nimis P., Ulmer P., "Clinopyroxene geobarometry of magmatic rocks. 1. An expanded structural geobarometer for anhydrous and hydrous, basic and ultrabasic system", Contributions to Mineralogy and Petrology 133 (1998) 122-135.
- [19] Nimis P., Taylor W.R., "Single clinopyroxene thermobarometry for garnet peridotites. Part I. Calibration and testing of a Cr-in-Cpx barometer and an enstatite-in-Cpx thermometer", Contributions to Mineralogy and Petrology 139 (2000) 541-554.
- [20] Putirka K., Mikaelian H., Ryerson F., Shaw H., "New clinopyroxene-liquid thermobarometers for mafic, evolved, and volatilebearing lava compositions, with applications to lavas from Tibet and the Snake River Plain, Idaho", American Mineralogist 88 (2003) 1542-1554.
- [21] Putirka K.D., "Thermometers and Barometers for Volcanic Systems", Reviews in Mineralogy and Geochemistry 69 (2008) 61-120.
- [22] Djokovic I., Cvetic S., Dimitrijevic M.D., "Geological map of Iran 1:100,000, sheet 6951-Dehaj", Geological Survey of Iran, Tehran (1973).
- [23] Droop G.T.R., "A general equation for estimating Fe³⁺ concentrations in ferromagnesian silicates and oxides from microprobe analyses, using stoichiometric criteria", Mineralogical Magazine 51 (1987) 431-435.
- [24] Alavi M., "Tectonic map of the Middle East, scale 1:5,000,000", Geological Survey of Iran (1991).
- [25] Berberian M., "Active faulting and tectonics of Iran", In: H.K. Gupta, F.M. Delany (Editors), Zagros-Hindukosh-Himalaya. Geodynamic

- bodies, *Boein-Miandasht, western Iran*", International Geology Review 62 (2020) 1658-1676.
- [46] Huot F., Hébert R., Varfalvy V., Beaudoin G., Wang C., Liu Z., Cotton J., Dostal J., "The Beimarang mélange (southern Tibet) brings additional constraints in assessing the origin, metamorphic evolution and obduction processes of the Yarlung Zangbo ophiolite", Journal of Asian Earth Sciences 21 (2002) 307-322.
- [47] France L., Koepke J., Ildefonse B., Cichy S.B., Deschamps F., "Hydrous partial melting in the sheeted dike complex at fast spreading ridges: experimental and natural observations", Contributions to Mineralogy and Petrology 160-165 (2010) 683-704.
- [48] Kilinc A., Carmichael I.S.E., Rivers M.L., Sack R.O., "The ferric-ferrous ratio of natural silicate liquids equilibrated in air", Contributions to Mineralogy and Petrology 83 (1983) 136-140.
- [49] Botcharnikov R.E., Koepke J., Holtz F., McCammon C., Wilke M., "The effect of water activity on the oxidation and structural state of Fe in a ferro-basaltic melt", Geochimica et Cosmochimica Acta 69 (2005) 5071-5085.
- [50] Schweitzer E.L., Papike J.J., Bence A.E., "Statistical analysis of clinopyroxene in deep-sea salts", American Mineralogist 64 (1979) 501-513.
- [51] Cameron M., Papike J.J., "Structural and chemical variations in pyroxenes", American Mineralogist 66 (1981) 1-50.
- [52] Mehvari R., Noghreyan M., Sharifi M., Mackizadeh M.A., Tabatabaei S.H., Torabi G., "Mineral chemistry of clinopyroxene: guidance on geo-thermobarometry and tectonomagmatic setting of Nabar volcanic rocks, South of Kashan (in persian)", Journal of Economic Geology 8 (2016-2017) 493-506.
- [53] Salehinejad H., Ahmadipour H., Moeinzadeh H.A., Moradian A., "Using Mineral Chemistry for Determination of Crystallization Conditions and Tectonic Setting of Diabasic Intrusive Rocks from Deh-Zahir Area (west of Rafsanjan) (in persian)", Iranian Journal of Crystallography and Mineralogy 27 (2019) 809-820.
- [54] Peyghambari S., "Tectonomagmatic characteristics of ophiolitic gabbroids from south Orzuieh (south of Baft, Kerman) ophiolite complex: insights from clinopyroxene chemistry (in persian)", Iranian journal of crystallography and mineralogy 26 (2018) 301-314.
- of ferric iron from microprobe data", Geology Society of America 6 (1974) 1053-1054.
- [36] Deer W.A., Howie R.A., Zussman J., "An Introduction to the Rock forming minerals". 2nd edition, Single chain silicates. Longman Group, London, UK. (1992).
- [37] Nisbet E.G., Pearce J.A., "Clinopyroxene composition in mafic lavas from different tectonic settings", Contributions to Mineralogy and Petrology 63 (1977) 149-160.
- [38] Golestani M., "Characteristics of tectonomagmatic alkali gabbros in northern Fathabad, Zarand (NW Kerman): based on the pyroxene mineral chemistry (in persian)", Iranian journal of crystallography and mineralogy 28 (2020) 311-328.
- [39] Golestani M., "Investigation of petrology and petrogenesis of the Gaz Boland Neogene basalts, northwest of Shahr-e-Babak (in persian)", Journal of Economic Geology (2021) (in press).
- [40] Grove T.L., Elkins-Tanton L.T., Parman S.W., Chatterjee N., Müntener O., Gaetani G.A., "Fractional crystallization and mantle-melting controls on calc-alkaline differentiation trends", Contributions to Mineralogy and Petrology 145 (2003) 515-533.
- [41] Pichavant M., Macdonald R., "Crystallization of primitive basaltic magmas at crustal pressures and genesis of the calc-alkaline igneous suite: experimental evidence from St Vincent, Lesser Antilles arc", Contributions to Mineralogy and Petrology 154 (2007) 535-558.
- [42] Sun C.M., Bertrand J., "Geochemistry of clinopyroxenes in plutonic and volcanic sequences from the Yanbian Proterozoic ophiolites (Sichuan Province, China): Petrogenetic and geotectonic implications", Schweizerische Mineralogische und Petrographische Mitteilungen 71 (1991) 243-259.
- [43] Ao S.J., Xiao W.J., Han C.M., Mao Q.G., Zhang J.E., "Geochronology and geochemistry of early Permian mafic-ultramafic complexes in the Beishan area, Xinjiang, NW China: implications for late Paleozoic tectonic evolution of the southern Altaiids", Gondwana Research 18 (2010) 466-478.
- [44] Loucks R.R., "Discrimination of ophiolitic from nonophiolitic ultramafic-mafic allochthons in orogenic belts by the Al/Ti ratio in clinopyroxene", Geology 18 (1990) 346-349.
- [45] Tavakoli N., Davoudian A.R., Shabanian N., Azizi H., Neubauer F., Asahara Y., Bernroider M., "Zircon U-Pb dating, mineralogy and geochemical characteristics of the gabbro and gabbro-diorite

- Eifel", Contributions to Mineralogy and Petrology 18 (1968) 326-337.
- [58] Aoki K.I., Shiba I., "Pyroxenes from lherzolite inclusions of Itinom e-Gata, Japan", Lithos 6 (1973) 41-51.
- [59] Sayari M., Sharifi M., "SCG: A Computer Application for Single Clinopyroxene Geothermobarometry", Italian Journal of Geosciences 133 (2014) 315-322.
- [55] Soesoo A., "A multivariate statistical analysis of clinopyroxene composition: Empirical coordinates for the crystallisation PT-estimations", Geological Society of Sweden (Geologiska Föreningen) 119 (1997) 55-60.
- [56] Helz R.T., "Phase Relations of Basalts in their Melting Range at $P_{H2O} = 5$ kb as a Function of Oxygen Fugacity Part I. Mafic Phases", Journal of Petrology 14 (1973) 249-302.
- [57] Aoki K.I., Kushiro I., "Some clinopyroxenes from ultramafic inclusions in Dreiser Weiher,